

# 自蔓延高温合成法(SHS)制备碳化钨<sup>①</sup>

缪曙霞 殷 声 李建勇 赖和怡  
(北京科技大学材料系, 北京 100083)

## 摘要

研究了以 Mg、Al 为还原剂合成碳化钨的燃烧反应。在  $\text{WO}_3\text{-Mg-C}$  系中, 主要通过气-固反应形成  $\text{W}_2\text{C}$ 、 $\text{MgO}$ 。在  $\text{WO}_3\text{-Al-C}$  系中, 通过液-固反应形成  $\text{WC}$ 、 $\text{W}_2\text{C}$  和  $\text{Al}_2\text{O}_3$ 。 $\text{WO}_3\text{-Al-C}$  系的燃烧产物经热压处理后,  $\text{W}_2\text{C}$  全部转变为  $\text{WC}$ 。在燃烧反应中, C 还起还原剂作用。

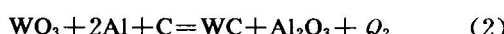
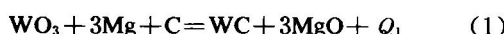
**关键词:** SHS WC 燃烧反应

SHS 制备材料具有节能、工艺设备简单等优点。利用带还原期的 SHS 法可以  $\text{WO}_3$  合成  $\text{WC}$  粉或  $\text{WC-Al}_2\text{O}_3$  粉末有一定意义。Culter 用 SHS 合成并随后热压的方法, 得到  $\text{WC}$  均匀分布的  $\text{WC-Al}_2\text{O}_3$  复合体<sup>[1]</sup>。

本文讨论以 Mg、Al 为还原剂, 从  $\text{WO}_3$  合成碳化钨的燃烧反应。采用热压方法得到  $\text{WC-Al}_2\text{O}_3$  致密复合材料。

## 1 实验方法

实验用原料为工业用  $\text{WO}_3$  粉、碳黑或者-200 目石墨粉、化学纯 Al 粉(-180 目)和 Mg 粉(-80 目)。利用 Al、Mg 热还原的高效放热合成 WC, 其反应式如下:



反应混合料经机械混合 2 h, 压成圆柱形样品, 放入 SHS 反应器中。反应器抽真空后充氩气至 300~500 kPa, 以减少燃烧时的气化现象。用 W 丝点燃样品。W-Re 热电偶配快速函数记录仪记录反应温度的变化。电子秒表测定燃烧速度。在热压机上, 采用电阻直接加热对  $\text{WO}_3\text{-Al-C}$  系反应产物进行热压。用 WFH-655

光纤高温计记录温度, 用 X 射线衍射法分析产物的成分, 用扫描电镜(SEM)观察形貌。

## 2 实验结果和讨论

### 2.1 以 Mg 为还原剂的燃烧反应

为了了解  $\text{WO}_3\text{-Mg-C}$  的燃烧反应过程, Mg 和 C 在燃烧合成中的作用, 以及 Mg 和  $\text{WO}_3$  的气化对燃烧合成的影响, 设计了表 1 所示反应。 $\text{WO}_3$  和 Mg 的气化温度都很低, 分别约为 600 ℃(大量气化)和 1110 ℃。在 Mg 还原  $\text{WO}_3$  的燃烧过程中,  $\text{WO}_3$  和 Mg 会大量气化损失, 在反应器内壁可以发现大量淡黄色的沉积物。

表 1  $\text{WO}_3\text{-Mg-C}$  系的反应物和产物

编号	反应混合物	反应产物
1	$\text{WO}_3 + 0.2\text{Mg}^*$	$\text{WO}_{2.90}, \text{WO}_{2.72}, \text{MgWO}_4$
2	$\text{WO}_3 + \text{Mg}$	$\beta\text{-W}, \text{MgWO}_4$
3	$\text{WO}_3 + 3\text{Mg}$	$\beta\text{-W}, \text{MgO}, \text{MgWO}_4$
4	$\text{WO}_3 + 2\text{Mg} + 0.5\text{C}$	$\beta\text{-W}, \text{MgO}$
5	$\text{WO}_3 + 3\text{Mg} + \text{C}$	$\text{W}_2\text{C}, \text{MgO}$
6	$\text{WO}_3 + 3\text{Mg} + 1.2\text{C}$	$\text{W}_2\text{C}, \text{MgO}$
7	$\text{WO}_3 + 4.3\text{Mg} + 1.2\text{C}$	$\text{W}_2\text{C}, \text{MgO}$

\*—化学炉引燃

① 收稿日期: 1993 年 4 月 14 日; 修回日期: 1993 年 9 月 1 日

应该指出，在1~7号样品X射线衍射分析结果中，除表1中列出的物质外，还有一较强衍射峰出现， $d$ 值具有良好的重复性，但同W或Mg的任何化合物的衍射峰都不吻合，有待进一步查明该峰的组成。

由表1中样品1~3号可见，用Mg还原WO<sub>3</sub>的反应过程与用H<sub>2</sub>还原WO<sub>3</sub>的过程基本类似<sup>[2]</sup>，WO<sub>3</sub>被Mg逐步还原成W：WO<sub>3</sub>→WO<sub>2.90</sub>→WO<sub>2.72</sub>→β-W。MgWO<sub>4</sub>可能是产物MgO与残余的WO<sub>3</sub>化合形成的。对比3号和4号样品，发现碳加入后，就不会出现MgWO<sub>4</sub>，也没有发现碳化物存在。碳在反应中起了还原作用。

表1还表明，由于WO<sub>3</sub>和Mg的气化和碳的损失，按反应式(1)配料的反应混合物没有得到WC，而是W<sub>2</sub>C。钨粉的碳化是扩散反应过程。在高温下碳由W颗粒表面向内部扩散，先形成W<sub>2</sub>C后，继续碳化成WC。WO<sub>3</sub>-Mg-C的燃烧合成的温度变化曲线如图1所示。由图1可见，在燃烧合成过程中，有利于碳化过程的高温持续时间只有10s左右，因此在极短时间内W<sub>2</sub>C很难继续碳化成WC。

采用反应产物作为稀释剂加入反应混合物料中，稀释剂会降低WO<sub>3</sub>-Mg-C系燃烧反应的燃烧速度和温度(如图2所示)。反应产物仍是W<sub>2</sub>C和MgO。

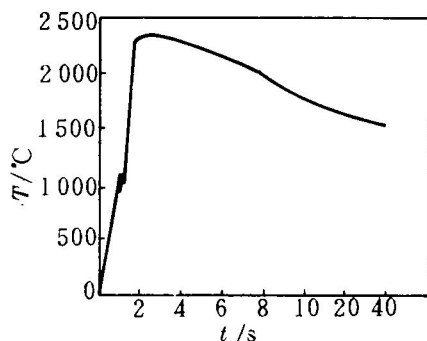


图1 WO<sub>3</sub>-3Mg-C燃烧温度变化曲线

在WO<sub>3</sub>-Mg-C系的燃烧合成中，试料相对密度对燃烧速度的影响，同TiO<sub>2</sub>-Mg-C系类似<sup>[3]</sup>，即燃烧速度随着压坯相对密度的增大而逐渐下降。这个系统的反应机制与TiO<sub>2</sub>-Mg-C

系相似，主要通过气相Mg与物料接触进行反应，燃烧速度受Mg气相在压坯中渗透和扩散速度的影响。因此，这两个系统的燃烧速度与料坯密度的关系类似。但是WO<sub>3</sub>-Mg-C系的燃烧速度比TiO<sub>2</sub>-Mg-C系高4倍，这可能同WO<sub>3</sub>的气化有关。

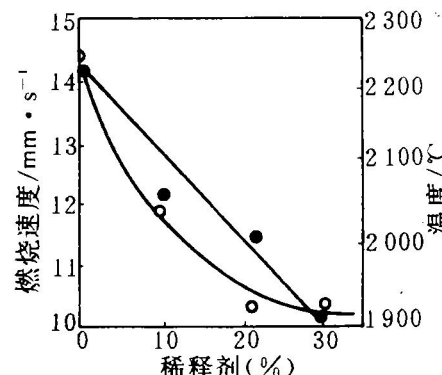


图2 稀释剂对WO<sub>3</sub>-3Mg-C燃烧温度(圆圈)和燃烧速度(黑点)的影响

试验还表明，无论碳以石墨或炭黑的形式加入，对WO<sub>3</sub>-Mg-C系的燃烧反应速度和产物影响不大，这可能与该系统的气-固相反应特征有关。

## 2.2 以Al为还原剂的燃烧反应

WO<sub>3</sub>-Al-C系的反应，按化学计量进行配料。反应物料压成圆柱体。在WO<sub>3</sub>-Al-C系的燃烧合成中，燃烧速度与料坯相对密度的关系不同于WO<sub>3</sub>-Mg-C系，而与Ti-C系的物料相对密度与燃烧速度的关系曲线相似，如图3所示。差热分析表明(如图4所示)，Al熔化后即开始燃烧反应，说明WO<sub>3</sub>-Al-C系通过液相Al与WO<sub>3</sub>接触发生还原反应。同样，Ti-C系是通过液相Ti与C的接触发生燃烧反应，这类液-固燃烧反应的燃烧速度受接触程度和热传导两因素的影响，在相对密度-燃烧速度关系曲线中存在燃烧速度最大值。因此WO<sub>3</sub>-Al-C系的相对密度-燃烧速度关系不同于以气-固反应为特征的WO<sub>3</sub>-Al-C系。在反应过程中，WO<sub>3</sub>的挥发，使物料失重10%~15%，没有发现气相WO<sub>3</sub>对系统的反应有明显影响，这可能是由于该系以液-固反应为特征。

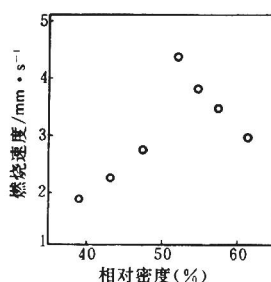


图3  $\text{WO}_3\text{-}2\text{Al-C}$  压坯相对密度对燃烧速度的影响

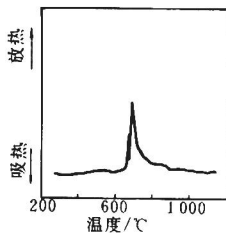


图4  $\text{WO}_3\text{-}2\text{Al-C}$  系的差热分析曲线

碳的形态对  $\text{WO}_3\text{-Al-C}$  系的燃烧反应有很大影响。以石墨形式加入时, 反应剧烈, 燃烧速度快。而以炭黑加入时, 反应不能持续。这可能同  $\text{WO}_3\text{-Al-C}$  系是以液-固反应为特征有关。粗的石墨粉在物料中形成易于液相 Al 渗透的多孔体, 增加液相 Al 与  $\text{WO}_3$  的接触程度, 反应剧烈, 而炭黑粉能均匀地分散并起着隔离  $\text{WO}_3$  与 Al 颗粒的作用, 不利于扩散和渗透。

$\text{WO}_3\text{-Al-C}$  系的燃烧合成产物为  $\text{W}_2\text{C}$ 、 $\text{WC}$  和  $\text{Al}_2\text{O}_3$ , 还有残余碳。 $\text{WC}$ 、 $\text{W}_2\text{C}$  的比例大致为 100:30(重量)。反应产物在 1600 °C 热压 5 min 后  $\text{W}_2\text{C}$  与残余 C 反应并完全转变成  $\text{WC}$ 。这也证明  $\text{WC}$  的形成是 C 向 W 的扩散过程, 需要一定时间, 结果与 Culter 所得相同<sup>[1]</sup>。

热压后得到的  $\text{WC}\text{-}\text{Al}_2\text{O}_3$  复合体密度为 8.56 g/cm<sup>3</sup>(水重法)。图 5 是热压  $\text{WC}\text{-}\text{Al}_2\text{O}_3$  的 SEM 照片, 试样仍有少量孔隙, 复合体的硬度为 Hv2 850–3 050。



图5 热压后  $\text{WC}\text{-}\text{Al}_2\text{O}_3$  复合物的 SEM 照片

### 3 结论

(1)  $\text{WO}_3\text{-Mg-C}$  系的燃烧反应主要通过气相 Mg 与物料反应, 燃烧速度受气相 Mg 渗透速度的影响。接近化学计量配料的反应产物均为  $\text{W}_2\text{C}$ 、 $\text{MgO}$ 。

(2)  $\text{WO}_3\text{-3Al-C}$  系通过液相 Al 与物料反应, 反应产物为  $\text{W}_2\text{C}$ 、 $\text{WC}$  和  $\text{Al}_2\text{O}_3$  及残余碳。

(3)  $\text{WO}_3\text{-Al-C}$  系的反应产物中的  $\text{W}_2\text{C}$  通过热压处理与残余碳反应转变为  $\text{WC}$ 。

(4)  $\text{WO}_3$  在还原 SHS 过程中, 首先被逐步还原成  $\beta\text{-W}$ , 再进行碳化反应生成碳化物, 碳也参与了还原反应。

### 参考文献

- Culter R A. In: Proceedings of the first US-Japan workshop on combustion synthesis, Ibaraki Jap 1990, P73–88.
- 黄培云. 粉末冶金原理. 北京: 冶金工业出版社, 1982. 53–59.
- Miao Suxia, Yin sheng, Li Jianyong, Lai Heyi. Rare Metals, 1993, (2): 137–141.